

東方子相史

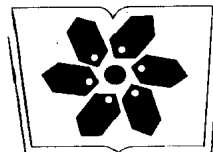
古漢書
周易
周易
周易

卷

詩書禮記

416086

11.18



中国科学院科学出版基金资助出版

贝 氏 体 相 变

方鸿生 王家军 杨志刚 著
李春明 薄祥正 郑燕康



00416086

科学出版社

1999

内 容 简 介

本书在作者多年从事贝氏体研究及所取得的成果的基础上撰写而成。书中主要论述了贝氏体相变的激发形核-台阶长大机制,相变产物与基体的界面结构,贝氏体超精细结构,表面浮凸效应与本质,界面局部平衡及仲平衡,扩散控制浓度影响台阶生长的模型,溶质拖曳作用及类拖曳作用理论,贝氏体碳化物形成的实验结果及模型等,并较系统归纳了半个多世纪来,国际上几代学者有关贝氏体相变研究的主要理论精髓。

本书可供从事材料科学、冶金、金属热处理、锻轧铸焊热加工、物理、航天、航空等研究的科技人员及高等院校有关专业的师生参考。

图书在版编目(CIP)数据

贝氏体相变/方鸿生等著. -北京:科学出版社, 1999.2

ISBN 7-03-006144-6

I. 贝… II. 方… III. 贝氏体转变 IV. TG151. 2

中国版本图书馆 CIP 数据核字(97)第 14002 号

科 学 出 版 社 出 版

北京东黄城根北街 16 号

邮政编码:100717

中 国 科 学 院 印 刷 厂 印 刷

新华书店北京发行所发行 各地新华书店经售

*

1999 年 2 月第 一 版 开本: 850 × 1168 1 / 32

1999 年 2 月第一次印刷 印数: 19 插页: 1

印数: 1 - 1 400 字数: 500 000

定价: 45.00 元

(如有印装质量问题, 我社负责调换(科印))

谨以此书敬献给
祖国的材料科学事业

扫描隧道显微镜(STM)贝氏体超精细结构及 表面浮凸照片

DW 1995

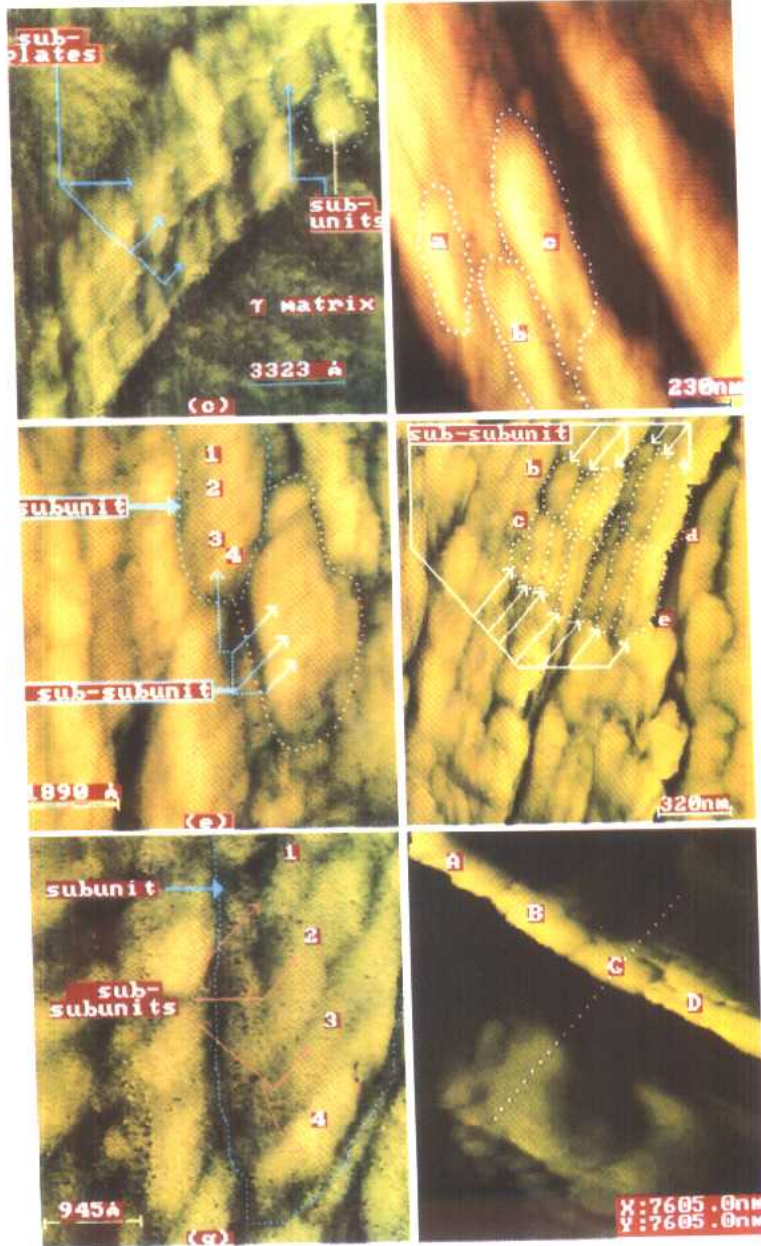
照片内容说明如下：

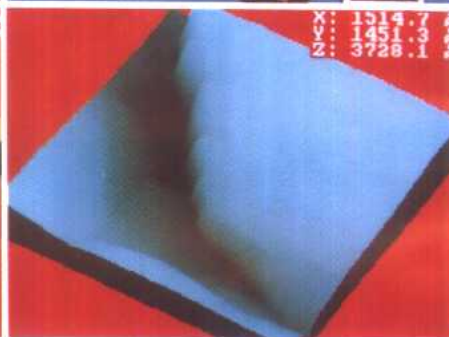
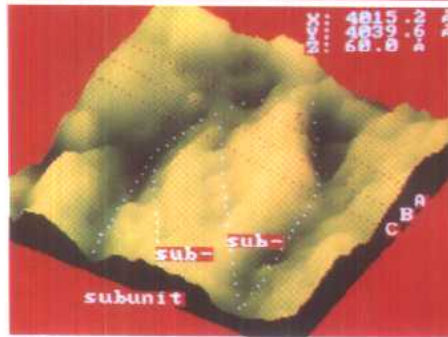
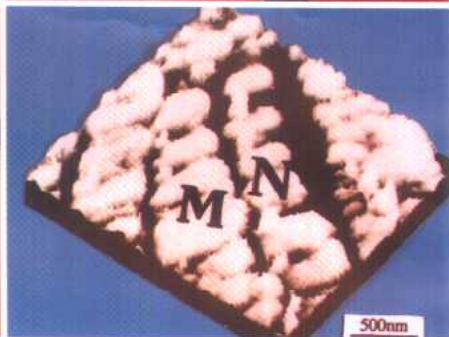
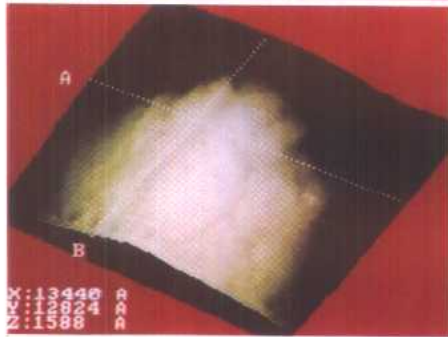
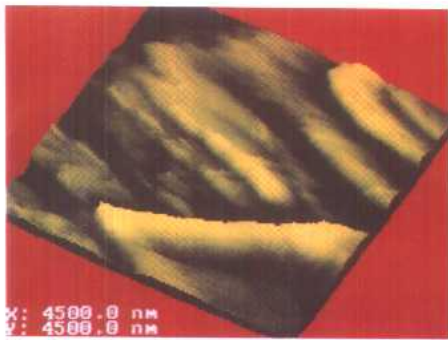
- (1) Fe-1.0C-4.0Cr-2.0Si 下贝氏体片条、亚片条及亚单元。
- (2) 图中虚线对应图(1)的下贝氏体亚单元及超亚单元。
- (3) 图中虚线对应图(1)、(2)中的下贝氏体亚单元及超亚单元。
- (4) Fe-0.4C-2.5Mn-0.6Si 下贝氏体亚片条、亚单元及超亚单元,与图(1)对比,由于含 Si,C 低(0.6%Si),故亚片条、亚单元形态不规整,尺寸不均匀。
- (5) Fe-0.5C-3.8Cr-1.4Si 上贝氏体亚片条、亚单元及超亚单元。
- (6) 表面浮凸:Fe-0.37C 钢中晶界仿晶形铁素体(GBA)的表面浮凸及其 A,B,C,D 的边-边激发形核。
- (7) 表面浮凸:Fe-0.37C 钢中晶界仿晶形铁素体(GBA)及在其上生长的魏氏组织铁素体,平行排列。
- (8) Fe-2.17C-12.18Cr 下贝氏体片条表面浮凸的三维形态,由浮凸群组成,实测表面起伏曲线见第 4 章。
- (9) Fe-2.17C-12.18Cr 下贝氏体中的亚片条前端,显示出亚单元、超亚单元及超超亚单元的三维形貌,其周围基体为奥氏体,实测表面起伏曲线见第 4 章。
- (10) 表面浮凸:Cu-28.26Zn-3.25Al-0.09Re 合金人字形 β 相贝氏体表面浮凸三维形态,它由亚单元组成浮凸群。
- (11) Cu-28.26Zn-3.25Al-0.09Re 合金贝氏体亚片条、亚单元三维形态。
- (12) Fe-0.4C-2.5Mn-0.6Si 上贝氏体亚单元超精细界面上的三维台阶形貌。

照片排序如下：

| | |
|-----|-----|
| (1) | (4) |
| (2) | (5) |
| (3) | (6) |

| | |
|-----|------|
| (7) | (10) |
| (8) | (11) |
| (9) | (12) |





前　　言

本人致力于贝氏体事业始于 1969 年的清华大学绵阳分校(山区)的风雨年代。从此,后半生与贝氏体结良缘,寒冬酷暑,不尽坎坷,以祖国人民为驱动力,和同事及弟子持之以恒,长年耕耘。

贝氏体钢与贝氏体相变理论及实践相辅相成。固态相变乃材料科学支柱之一,贝氏体相变又是固态相变的重要分支学科,历来受国内外重视,原因是:

1. 代表一类片状相形成理论。
2. 涉及钢铁、有色合金及陶瓷材料等领域,有巨大实践意义及潜力。
3. 贝氏体相变介于高温扩散型相变和低温切变型相变之间,区别于珠光体相变和马氏体相变,其进展可推动整体固态相变理论的发展。
4. 贝氏体相变的复杂性。

本书特点:

1. 内容新:充分反映国内外最新进展,如贝氏体相变的激发形核-台阶长大机制,相变产物与基体的界面结构,贝氏体超精细结构,表面浮凸的最新成果,超精细结构伴随浮凸效应与本质,扫描隧道显微分析技术在相变研究中的应用,界面局部平衡以及仲平衡,扩散控制浓度影响台阶生长的模型,溶质拖曳作用及类拖曳作用理论,贝氏体碳化物形成的实验成果及模型等。
2. 系统全面,侧重现代:贝氏体相变发展 70 年,扩散

与切变学派系统争论半世纪。本书较系统地归纳国际上两大学派、几代学者的主要理论精髓,但也明确展示作者的观点。

3. 书中大量内容反映作者多年的研究成果,发表于国内外刊物及会议文集中,力求严谨求实。

作者学识及能力有限,本书难免有欠缺及不当之处,希冀同行惠赐评教,共同为相变理论和材料科学发展奉献力量。

方鸿生

1998 年于清华园

目 录

| | |
|-----------------------------|-------|
| 1 贝氏体分类及定义 | (1) |
| § 1.1 贝氏体组织分类..... | (1) |
| § 1.1.1 上贝氏体 | (4) |
| § 1.1.2 下贝氏体 | (5) |
| § 1.1.3 无碳化物贝氏体 | (8) |
| § 1.1.4 粒状贝氏体与粒状组织..... | (10) |
| § 1.1.5 柱状贝氏体 | (21) |
| § 1.1.6 针状铁素体 | (23) |
| § 1.1.7 低碳板条束贝氏体 | (28) |
| § 1.1.8 反常贝氏体 | (29) |
| § 1.1.9 其它类型的贝氏体 | (32) |
| § 1.1.10 钢中成分对贝氏体形态的影响..... | (33) |
| § 1.1.11 小结 | (36) |
| § 1.2 贝氏体相变主要特征..... | (38) |
| § 1.3 贝氏体定义..... | (46) |
| § 1.3.1 早期定义 | (46) |
| § 1.3.2 广义显微组织定义 | (49) |
| § 1.3.3 整体动力学(ORK)定义 | (50) |
| § 1.3.4 表面浮凸定义(SRD) | (51) |
| § 1.3.5 三种定义之间的相互矛盾 | (51) |
| § 1.3.6 本书作者对贝氏体定义的观点 | (52) |
| 参考文献 | (53) |
| 2 贝氏体相变理论 | (59) |
| § 2.1 贝氏体相变早期模型..... | (60) |
| § 2.1.1 Vilella 假设 | (60) |

| | |
|--------------------------------------|--------------|
| § 2.1.2 Greninger 和 Troiano 假设 | (61) |
| § 2.1.3 Klier 和 Lyman 贫碳区理论 | (61) |
| § 2.1.4 Hultgren 模型 | (63) |
| § 2.2 经典扩散控制台阶长大理论 | (64) |
| § 2.2.1 扩散控制台阶长大理论模型 | (64) |
| § 2.2.2 台阶长大动力学及台阶源 | (66) |
| § 2.2.3 生长台阶的精细结构 | (70) |
| § 2.3 共析转变产物形态与台阶机制 | (76) |
| § 2.4 贝氏体转变动力学 | (84) |
| § 2.4.1 整体动力学 | (84) |
| § 2.4.2 河湾区转变规律 | (88) |
| § 2.4.3 河湾区贝氏体组织形态演化 | (97) |
| § 2.4.4 对贝氏体 ORK 现象的解释 | (98) |
| § 2.4.5 ORK 现象解释的有关例证及其它观点 | (104) |
| § 2.5 贝氏体相变晶体学 | (107) |
| § 2.5.1 贝氏体铁素体惯习面 | (107) |
| § 2.5.2 贝氏体铁素体与奥氏体位向关系 | (110) |
| § 2.6 贝氏体切变理论简介 | (115) |
| § 2.6.1 切变理论回顾 | (115) |
| § 2.6.2 切变理论主要观点 | (116) |
| § 2.6.3 切变基元 | (118) |
| § 2.6.4 切变过程 | (120) |
| § 2.6.5 切变与扩散 | (122) |
| § 2.6.6 预相变 | (123) |
| § 2.6.7 贝氏体中脊 | (128) |
| § 2.6.8 关于贝氏体相变的其它学术观点 | (130) |
| 参考文献 | (131) |
| 3 贝氏体碳化物 | (138) |
| § 3.1 引言 | (138) |
| § 3.2 贝氏体碳化物来源 | (139) |

| | |
|--|-------|
| § 3.2.1 上贝氏体碳化物 | (139) |
| § 3.2.2 下贝氏体碳化物 | (141) |
| § 3.3 贝氏体相变过程中的碳扩散行为 | (149) |
| § 3.3.1 贝氏体铁素体初始碳含量 | (149) |
| § 3.3.2 碳原子扩散与再分配 | (160) |
| § 3.3.3 碳化物析出动力学 | (162) |
| § 3.4 贝氏体碳化物晶体学 | (165) |
| § 3.4.1 碳化物排列的理论预测 | (165) |
| § 3.4.2 碳化物惯习面分析 | (168) |
| § 3.4.3 碳化物与基体间位向关系 | (170) |
| § 3.4.4 三相晶体学 | (172) |
| § 3.4.5 贝氏体碳化物类型 | (173) |
| § 3.5 小结 | (180) |
| § 3.5.1 实验事实 | (180) |
| § 3.5.2 贝氏体碳化物析出机制及长大模型 | (192) |
| § 3.5.3 与台阶机制有关的其它几类碳化物的形成过程 | |
| | (194) |
| 参考文献 | (195) |
| 4 贝氏体超精细结构及表面浮凸 | (202) |
| § 4.1 片状相表面浮凸的物理本质 | (202) |
| § 4.1.1 马氏体相变晶体学表象理论(PTMC) | (202) |
| § 4.1.2 马氏体相变的表面浮凸 | (208) |
| § 4.1.3 简单 fcc/hcp 界面原子尺度台阶长大与表面 浮凸 | (211) |
| § 4.1.4 PTMC 对 M_1 点以上片状相相变产物的描述 | (213) |
| § 4.1.5 扩散控制台阶长大机制与 PTMC | (215) |
| § 4.2 合金元素对贝氏体组织形态及精细结构的 影响 | (216) |
| § 4.2.1 对贝氏体组织形态的影响 | (216) |
| § 4.2.2 对贝氏体精细结构的影响 | (223) |

| | |
|---|-------|
| § 4.3 贝氏体铁素体超精细结构 | (225) |
| § 4.3.1 扫描隧道显微分析技术简介 | (225) |
| § 4.3.2 样品制备后的表面起伏 | (227) |
| § 4.3.3 上贝氏体超精细结构 | (229) |
| § 4.3.4 下贝氏体超精细结构 | (247) |
| § 4.4 贝氏体表面浮凸与浮凸群 | (254) |
| § 4.4.1 历史回顾 | (254) |
| § 4.4.2 贝氏体相变表面浮凸与台阶机制 | (255) |
| § 4.4.3 下贝氏体表面浮凸的超精细结构及浮凸群 ... | (258) |
| 参考文献 | (263) |
| 5 其它类型片状相超精细结构及表面浮凸 | (268) |
| § 5.1 固态相变分类 | (268) |
| § 5.1.1 固态相变的不同分类方法 | (268) |
| § 5.1.2 一级相变分类 | (270) |
| § 5.1.3 马氏体相变分类 | (272) |
| § 5.2 魏氏组织铁素体 | (274) |
| § 5.2.1 对魏氏组织铁素体研究的重要意义 | (274) |
| § 5.2.2 魏氏组织铁素体的金相观察 | (277) |
| § 5.2.3 魏氏组织铁素体表面台阶 | (278) |
| § 5.2.4 魏氏组织铁素体形成机制 | (280) |
| § 5.2.5 魏氏铁素体精细结构特点 | (284) |
| § 5.2.6 魏氏组织铁素体的表面浮凸 | (285) |
| § 5.3 仿晶型铁素体的表面浮凸 | (287) |
| § 5.4 马氏体相变的主要特征 | (290) |
| § 5.5 片状马氏体的表面浮凸 | (294) |
| § 5.6 板条马氏体 | (301) |
| § 5.6.1 Fe-C-Cr 合金板条马氏体组织 | (302) |
| § 5.6.2 Fe-C-Cr 合金板条马氏体表面浮凸 | (304) |
| § 5.6.3 Fe-C-Cr 合金板条马氏体表面浮凸与 PTMC 理论比较 | (307) |

| | |
|---|-------|
| § 5.7 其它马氏体表面浮凸 | (309) |
| 参考文献 | (313) |
| 6 贝氏体相变热力学基础 | (315) |
| § 6.1 铁碳合金中碳原子交互作用能、偏摩尔焓和偏 摩尔熵 | (316) |
| § 6.2 铁碳合金中碳和铁活度计算及相图相界成 分确定 | (320) |
| § 6.2.1 KRC 模型 | (320) |
| § 6.2.2 LFG 模型 | (322) |
| § 6.2.3 MD 模型 | (324) |
| § 6.3 铁碳二元合金贝氏体相变驱动力 | (325) |
| § 6.3.1 先共析型转变的驱动力: $\Delta G^{\gamma \rightarrow \alpha + \gamma_1}$ | (325) |
| § 6.3.2 类珠光体型转变的驱动力: $\Delta G^{\gamma \rightarrow \alpha + Fe_3C}$ | (326) |
| § 6.3.3 马氏体型转变的驱动力: $\Delta G^{\gamma \rightarrow \alpha}$ | (327) |
| § 6.4 贝氏体相变驱动力计算结果与相变机制 | (328) |
| § 6.4.1 相变驱动力计算结果 | (328) |
| § 6.4.2 B_s 温度与切变形成最高温度 T_{max} 比较 | (330) |
| 参考文献 | (332) |
| 7 贝氏体相变动力学及其相关问题 | (334) |
| § 7.1 扩散控制贝氏体长大动力学 | (335) |
| § 7.1.1 扩散控制片状相长大理论 | (335) |
| § 7.1.2 台阶机制下的扩散控制界面长大动力学 | (340) |
| § 7.2 贝氏体亚单元切变形成动力学和界面位错攀 移-滑移动力学 | (350) |
| § 7.2.1 贝氏体亚单元切变形成动力学 | (350) |
| § 7.2.2 界面位错攀移-滑移动力学 | (353) |
| § 7.3 贝氏体不完全转变现象及开始温度 B_s 和结束 温度 B_f | (358) |
| § 7.3.1 不完全转变现象 | (358) |

| | |
|--|-------|
| § 7.3.2 B_1 温度的经验公式 | (363) |
| § 7.4 贝氏体相变整体动力学和 Avrami 方程 | (367) |
| § 7.4.1 形核与长大 | (367) |
| § 7.4.2 Avrami 方程 | (371) |
| § 7.5 局部平衡和仲(准)平衡 | (373) |
| § 7.5.1 局部平衡 | (373) |
| § 7.5.2 相界面平衡模型 | (374) |
| § 7.5.3 PLE 和 NPLE 的确定 | (376) |
| § 7.6 贝氏体长大过程界面平衡的实验研究 | (380) |
| § 7.6.1 界面碳浓度 | (380) |
| § 7.6.2 界面置换元素浓度 | (383) |
| 参考文献 | (385) |
| 8 有色合金贝氏体相变研究回顾 | (390) |
| § 8.1 具有贝氏体相变的有色合金系及其研究意义 和用途 | (390) |
| § 8.2 Cu 基合金的相图及相结构 | (392) |
| § 8.3 Cu 基合金的贝氏体相变晶体学 | (397) |
| § 8.3.1 贝氏体的惯习面 | (397) |
| § 8.3.2 贝氏体与母相及平衡相的位向关系 | (400) |
| § 8.4 Cu 基合金贝氏体相变的热力学 | (400) |
| § 8.4.1 Cu-Zn 合金贝氏体相变热力学 | (401) |
| § 8.4.2 Cu-Zn-Al 合金贝氏体相变热力学 | (402) |
| § 8.5 Cu 基合金的贝氏体相变动力学 | (405) |
| § 8.5.1 等温动力学 | (405) |
| § 8.5.2 伸长、加厚动力学 | (408) |
| § 8.6 关于有色合金贝氏体相变的学术论点 | (411) |
| § 8.6.1 贝氏体的晶体学 | (411) |
| § 8.6.2 Cu 基合金贝氏体相变初期的成分变化 | (418) |
| § 8.6.3 初生贝氏体存在层错亚结构 | (422) |
| § 8.6.4 应力对贝氏体相变的影响 | (426) |

| | |
|--------------------------------|-------|
| § 8.6.5 伸长、加厚动力学 | (428) |
| § 8.6.6 贝氏体的有序结构 | (429) |
| § 8.6.7 贝氏体的界面结构 | (430) |
| § 8.6.8 Cu 基合金的贝氏体相变模型 | (433) |
| 参考文献 | (437) |
| 9 Cu-Zn-Al 合金的贝氏体相变机制 | (440) |
| § 9.1 Cu-Zn-Al 合金贝氏体的生长过程 | (440) |
| § 9.1.1 贝氏体的初生态 | (441) |
| § 9.1.2 贝氏体的中间态 | (448) |
| § 9.1.3 贝氏体的退化态及其与平衡相的比较 | (451) |
| § 9.2 Cu-Zn-Al 合金贝氏体的台阶生长机制 | (454) |
| § 9.2.1 台阶存在的客观性 | (454) |
| § 9.2.2 台阶存在的普遍性 | (456) |
| § 9.2.3 台阶的可动性 | (462) |
| § 9.2.4 台面与阶面的互换性 | (465) |
| § 9.2.5 台阶-台阶及扭折-台阶生长 | (466) |
| § 9.3 Cu-Zn-Al 合金的贝氏体精细结构——亚单元 | (468) |
| § 9.3.1 亚单元的扫描隧道显微分析 | (468) |
| § 9.3.2 亚单元的透射电镜观察 | (472) |
| § 9.4 Cu-Zn-Al 合金贝氏体的表面浮凸 | (473) |
| § 9.4.1 马氏体浮凸的 STM 观察 | (473) |
| § 9.4.2 贝氏体浮凸的 STM 观察 | (476) |
| § 9.4.3 贝氏体亚单元浮凸的形成机制 | (476) |
| § 9.5 Cu-Zn-Al 合金贝氏体的激发-台阶相变机制 | (479) |
| § 9.6 小结 | (480) |
| 参考文献 | (481) |

| | | |
|-------------------------------|-------|-------|
| 10 其它有色合金的贝氏体相变 | | (485) |
| § 10.1 Cu-Al 及 Cu-Sn 合金的贝氏体相变 | | (485) |
| § 10.2 Ti 合金的贝氏体相变 | | (490) |
| § 10.2.1 相图及相结构 | | (490) |
| § 10.2.2 α/β 的界面结构 | | (492) |
| § 10.3 Ag 基合金的贝氏体相变 | | (497) |
| § 10.3.1 Ag-Cd 合金的贝氏体相变 | | (497) |
| § 10.3.2 Ag-Zn 合金的贝氏体相变 | | (502) |
| § 10.4 U-Cr 合金的贝氏体相变 | | (505) |
| 参考文献 | | (510) |
| 11 贝氏体相变激发形核-台阶长大 | | (512) |
| § 11.1 扩散控制台阶长大理论的发展 | | (512) |
| § 11.1.1 生长台阶 | | (512) |
| § 11.1.2 巨型台阶与台阶机制 | | (518) |
| § 11.1.3 台阶-台阶、台阶-扭折理论 | | (534) |
| § 11.2 激发形核-台阶长大形成机制 | | (536) |
| § 11.2.1 激发形核的实验观察 | | (536) |
| § 11.2.2 激发形核早期理论 | | (540) |
| § 11.2.3 异质形核理论在激发形核方面的应用 | | (546) |
| § 11.2.4 贝氏体激发形核-台阶长大理论及相变模型 | | (554) |
| § 11.2.5 钢中魏氏组织与晶界仿晶型铁素体的激发形核 | | (563) |
| § 11.2.6 置换型合金贝氏体激发形核-台阶长大机制 | | (565) |
| § 11.2.7 关于马氏体相变的应力激发形核 | | (567) |
| § 11.3 片状相形成的原子机制 | | (569) |
| § 11.3.1 在 PTMC 片状相方面的应用 | | (569) |
| § 11.3.2 原子惯习面与表观惯习面 | | (570) |
| § 11.3.3 原子尺度台阶的扩散运动 | | (573) |
| § 11.4 贝氏体形态学 | | (573) |